

MIECZYSLAW FRANASZEK

## Analiza harmonicznego napięcia wyjściowego cyklokonwertora nie sterowanego fazowo

### WSTĘP

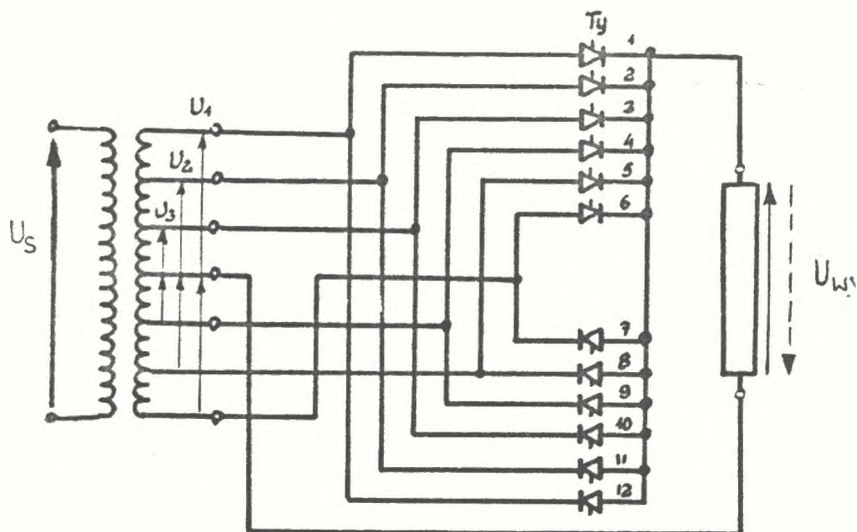
Cyklokonwertory należą do grupy przetworników statycznych, które przetwarzają energię prądu przemiennego o stałej częstotliwości na regulowaną w zakresie poniżej znamionowej.

Tematem własnego opracowania jest cyklokonwertor o nie regulowanym kącie wyzwalania tyrystorów względnie symistorów i paru poziomach napięć zasilających. Komutacja napięciowa podyktowana jest przemiennością napięcia zasilającego. Dzięki zastosowaniu kilku poziomów napięć zasilających otrzymuje się stosunkowo korzystny przebieg napięcia wyjściowego o dużej wartości harmonicznego podstawowej i małych wartościach wyższych harmonicznego.

Analizie poddany został układ jednofazowy cyklokonwertora, otrzymane rozwiązania i wnioski mogą być wykorzystane również dla układów trójfazowych.

### 1. STRUKTURA CYKLOKONWERTORÓW O NIE REGULOWANYM KĄCIE WYZWALANIA

Idea działania tego typu cyklokonwertora wyjaśniona zostanie na układzie o trzech poziomach napięć zasilających (rys.1).



Rys.1. Schemat cyklokonwertora jednofazowego tyrystorowego o trzech poziomach napięć

Przez zastosowanie odpowiedniego programu impulsów (rys.2c otrzymuje się przebieg napięcia wyjściowego  $U_{wy} = f(t)$  dla żądanej częstotliwości  $f_c$ , co przedstawiono na rys.2b. Przebieg ten składa się z połówek o różnych napięciach maksymalnych, tj.  $U_{1m}$ ,  $U_{2m}$  i  $U_{3m}$ .

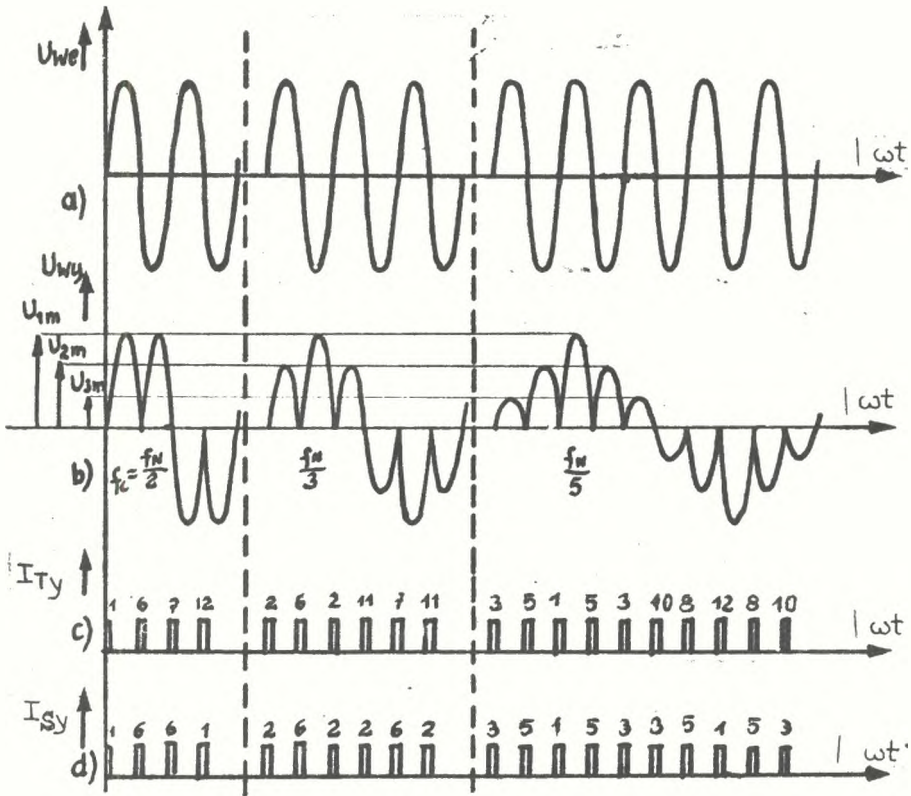
Częstotliwość regulowana  $f_c$  przebiegu wyjściowego cyklokonwertora określona jest wzorem

$$f_c = \frac{f_N}{p} \quad (1.1)$$

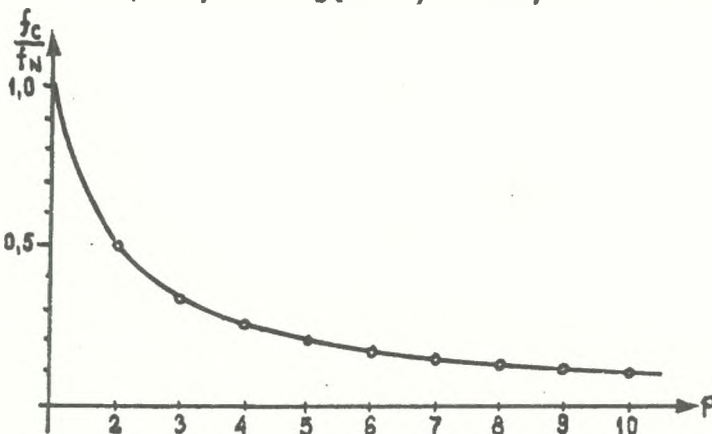
gdzie:  $f_N$  - wartość znamionowa częstotliwości napięcia zasilającego (napięcie sieci  $U_s$ ),

$p$  - liczba półokresów (liczba pulsów) napięcia sieci, mieszcząca się w półokresie napięcia regulowanego (napięcie wyjściowe  $U_{wy}$ ).

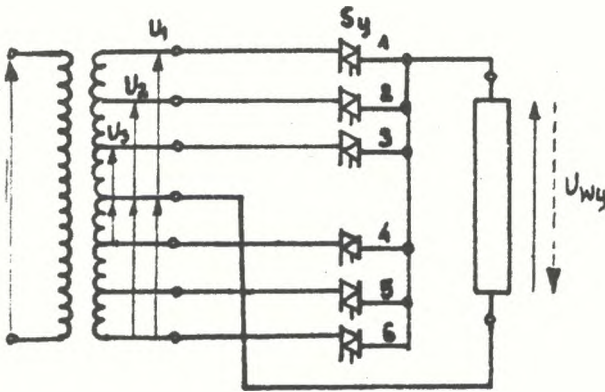
Częstotliwość  $f_N$  ma wartość stałą, zaś  $p$  przyjmuje wartości  $p = 1, 2, 3, \dots$ , stąd zależność  $f_c = g(p)$  ma przebieg hiperboliczny i regulacja jest skokowa (rys.3).



Rys.2. Przebiegi czasowe cyklokonwertora jednofazowego, a) napięcie zasilające wejściowe  $U_{we}$ , b) napięcie wyjściowe  $U_{wy}$ , c)  $I_{Ty}$  - impulsy sterujące tyrystory, d)  $I_{sy}$  - impulsy sterujące symistory



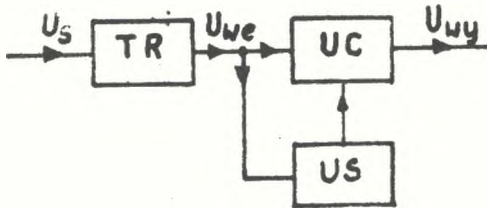
Rys.3. Zależność względnej częstotliwości regulowanej  $f_c/f_N$  w funkcji liczby pulsów  $p$



Rys.4. Schemat cyklokonwertora jedno-fazowego symistorowego o trzech poziomach napięć

W przypadku zastosowania symistorów (rys.4) układ jest prostszy i wymaga o połowę mniej elementów półprzewodnikowych, sterowanych. Dzięki temu i układowi sterowania znacznie się upraszcza. Z programu impulsów bramkowych (rys.2d)

wynika, że liczba kombinacji jest dwukrotnie mniejsza niż w przypadku układu tyrystorowego.



Rys.5. Schemat blokowy cyklokonwertora

TR - transformator zasilający, UC - układ tyrystorowy (symistorowy), US - układ sterujący

Należy zauważyć, że warunki komutacji napięciowej są bardzo korzystne, gdyż komutacja występuje przy  $\left. \frac{du}{dt} \right|_{\max}$ .

Schemat blokowy cyklokonwertora przedstawiony został na rys.5.

## 2. ANALIZA ZAWARTOŚCI HARMONICZNYCH W NAPIĘCIU WYJŚCIOWYM CYKLOKONWERTORA

Napięcie wyjściowe  $U_{wy} = U_c$  cyklokonwertora składa się, jak już powiedziano, z wybranych półokresów napięcia wejściowego  $U_{we}$  (rys.2) i stanowi funkcję okresowo zmienną

Jeżeli funkcja okresowo zmienna spełnia tzw. warunki Dirichleta [1], co ma miejsce w przypadku  $u_{wy} = f(t)$ , to można tę funkcję przedstawić za pomocą szeregu trygonometrycznego Fouriera w postaci sumy złożonej z wartości stałej i szeregu funkcji sinusoidalnych o częstotliwościach  $kf$  lub pulsacjach  $k\omega$  ( $k = 1, 2, 3, \dots, \infty$ ;  $\omega = 2\pi f$ ).

Zgodnie z powyższym

$$f(t) = C_0 \sin \psi_0 + C_1 \sin(\omega t + \psi_1) + C_2 \sin(2\omega t + \psi_2) + \dots + C_n \sin(n\omega t + \psi_n) \quad (2.1)$$

lub

$$f(t) = \sum_{k=0}^{\infty} C_k \sin(k\omega t + \psi_k) \quad (2.2)$$

Po prostych przekształceniach (2.1) otrzymuje się

$$f(x) = \frac{A_0}{2} + \sum_{k=1}^{\infty} A_k \cos kx + \sum_{k=1}^{\infty} B_k \sin kx \quad (2.3)$$

gdzie  $x = \omega t$

$$A_0 = \frac{1}{\pi} \int_0^{2\pi} f(x) dx \quad (2.4)$$

$$A_k = \frac{1}{\pi} \int_0^{2\pi} f(x) \cos kx dx \quad (2.5)$$

$$B_k = \frac{1}{\pi} \int_0^{2\pi} f(x) \sin kx dx \quad (2.6)$$

Zależności (2.1) do (2.6) dotyczą dowolnej funkcji okresowo zmiennej, spełniającej warunki Dirichleta. W zależności od typu funkcji i przyjętego początku osi współrzędnych układu w wielu przypadkach zerują się niektóre składniki szeregu Fouriera.

Funkcja napięciowa  $u_{wy} = f(t)$  na wyjściu rozpatrywanego cyklokonwertora charakteryzuje się tym, że

$$A_0 = 0, \quad A_k = 0, \quad B_{2k} = 0$$

czyli

$$f(x) = \sum_{k=0}^{\infty} B_{2k+1} \sin(2k+1)x \quad (2.7)$$

$$f(x) = B_1 \sin x + B_3 \sin 3x + B_5 \sin 5x + \dots \quad (2.8)$$

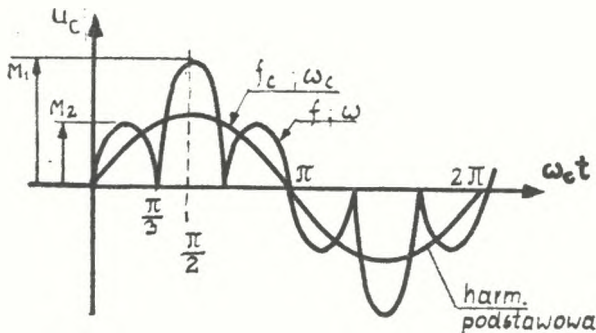
przy czym

$$B_{2k+1} = \frac{1}{\pi} \int_0^{2\pi} f(x) \sin(2k+1)x \, dx \quad (2.9)$$

Ten typ funkcji jest symetryczny względem początku układu osi współrzędnych i dla obliczenia  $B_{2k+1}$  wystarczy posłużyć się zależnością

$$B_{2k+1} = \frac{4}{\pi} \int_0^{\pi/2} f(x) \sin(2k+1)x \, dx \quad (2.10)$$

W dotychczasowych zależnościach zastosowano ogólnie przyjęte oznaczenia. Z uwagi na to, że funkcja  $f(x)$  jest sinusoidalnie zmienna, wprowadzono dodatkowe wielkości. Weźmy pod uwagę układ cyklokonwertora o liczbie pulsów  $p=3$  i dwóch poziomach napięć o wartościach modułowych  $U_{1m} = M_1$  i  $U_{2m} = M_2$  (rys.6). Częstotliwość napięcia zasilającego ma wartość stałą, niezależną od  $p$  i jest oznaczona przez  $f$ ,



Rys.6. Przebieg napięcia wyjściowego cyklokonwertora  $u_c$ ,  $p = 3$ ,  $f_c = f_N/3$

której odpowiada pulsacja  $\omega = 2\pi f$ . Częstotliwość przebiegu wyjściowego oznaczona zostanie przez  $f_c$ , a pulsacja tego

przebiegu  $\omega_c = 2\pi f_c$ . Wielkości  $f_c$  i  $\omega_c$  mają stałe wartości tylko dla danego przebiegu, tzn. dla stałej liczby pulsów  $p = \text{konst.}$

W dalszych rozważaniach należy uwzględnić zachodzące związki

$$\begin{aligned} f &= p f_c \\ \omega &= p \omega_c \end{aligned} \quad (2.11)$$

$$x = p x_c = p \omega_c t$$

$$\text{Oznaczmy dla zwięzłości zapisu } 2k + 1 = b \quad (2.12)$$

$k = 0, 1, 2, 3, \dots$ . Zależność (2.10) przyjmie postać

$$B_b = \frac{4}{\pi} \int_0^{\pi/2} f(x_c) \sin b x_c dx_c \quad (2.13)$$

Dla przebiegu jak na rys.6, amplituda pierwszej harmonicznej ( $b=1$ ) przyjmie postać

$$\begin{aligned} B_1 &= \frac{4}{\pi} \left[ \int_0^{\pi/3} M_2 \sin x_c \sin x_c dx_c + \right. \\ &\quad \left. - \int_{\pi/3}^{\pi/2} M_1 \sin x_c \sin x_c dx_c \right] \end{aligned} \quad (2.14)$$

lub

$$\begin{aligned} B_1 &= \frac{4 \omega_c}{\pi} \left[ \int_0^{T/6} M_2 \sin 3 \omega_c t \sin \omega_c t dt + \right. \\ &\quad \left. - \int_{T/6}^{T/4} M_1 \sin 3 \omega_c t \sin \omega_c t dt \right] \end{aligned} \quad (2.15)$$

Dla trzeciej harmonicznej ( $b=3$ ) amplituda

$$\begin{aligned} B_3 &= \frac{4 \omega_c}{\pi} \left[ \int_0^{T/6} M_2 \sin 3 \omega_c t \sin 3 \omega_c t dt + \right. \\ &\quad \left. - \int_{T/6}^{T/4} M_1 \sin 3 \omega_c t \sin 3 \omega_c t dt \right] \end{aligned} \quad (2.16)$$

Do obliczenia amplitud  $B_1, B_3, B_5$  i dalszych potrzebna jest znajomość całki

$$J = \int \sin p \omega_c t \sin b \omega_c t dt$$

dla przypadku  $p \neq b$

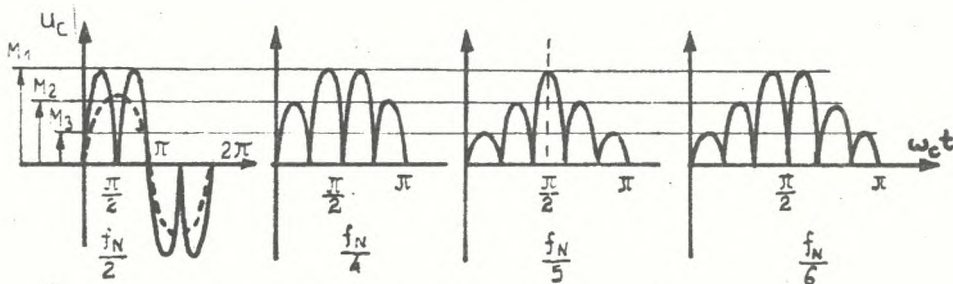
$$J = \frac{1}{(b^2 - p^2)\omega_c} \left[ p \cos p \omega_c t \sin b \omega_c t - b \sin p \omega_c t \cos b \omega_c t \right] + C \quad (2.17)$$

dla  $p = b$

$$J = \int \sin^2 b \omega_c t dt = \frac{1}{2} t - \frac{1}{4b\omega_c} \sin 2b \omega_c t + C \quad (2.18)$$

Przechodząc do obliczenia amplitud  $B_1, B_3, \text{ itd.}$  należy skorzystać z zależności o strukturze (2.15) oraz odpowiednio z (2.17) lub (2.18).

### 2.1. Napięcie wyjściowe dla częstotliwości $\frac{f_N}{2}$ (rys.7)



Rys.7. Przebiegi napięć cyklokonwertora dla  $p = 2, p = 4, p = 5, p = 6$

Dane wyjściowe:  $p = 2, M_1 = M_2, f_c = f_N/2, b = \text{var}$

$$B_1 = \frac{4}{3\pi} M_1 \left[ -2 \cos 2 \omega_c t \sin \omega_c t + \sin 2 \omega_c t \cos \omega_c t \right]_0^{\frac{T}{4}}$$

$$B_1 = \frac{8}{3\pi} M_1$$

$$B_3 = \frac{4}{\pi} \frac{M_1}{(3^2 - 2^2)} \left[ 2 \cos 2 \omega_c t \sin 3 \omega_c t - 3 \sin 2 \omega_c t \cos 3 \omega_c t \right]_0^{\frac{T}{4}}$$



$$B_3 = \frac{6}{5\pi} M_1$$

$$B_5 = \frac{4}{21\pi} M_1 \left[ 2 \cos 2\omega_c t \sin 5\omega_c t - 5 \sin 2\omega_c t \cos 5\omega_c t \right] \Big|_0^{\frac{T}{4}}$$

$$B_5 = -\frac{8}{21\pi} M_1$$

$$B_7 = \frac{4}{45\pi} M_1 \left[ 2 \cos 2\omega_c t \sin 7\omega_c t - 7 \sin 2\omega_c t \cos 7\omega_c t \right] \Big|_0^{\frac{T}{4}}$$

$$B_7 = \frac{8}{45\pi} M_1$$

$$B_1 = M_1 0,85$$

$$B_3 = M_1 0,51$$

$$B_5 = -M_1 0,12$$

$$B_7 = M_1 0,06$$

(2.19)

## 2.2. Napięcie wyłécicowe dla $\frac{f_N}{3}$ ; $p = 3$

$$B_1 = \frac{4}{\pi} \frac{1}{(b^2 - p^2)} \left[ M_2 (3 \cos 3\omega_c t \sin \omega_c t + \sin 3\omega_c t \cos \omega_c t) \Big|_0^{\frac{T}{6}} + \right. \\ \left. - M_1 (3 \cos \omega_c t \sin \omega_c t + \sin 3\omega_c t \cos \omega_c t) \Big|_{\frac{T}{6}}^{\frac{T}{4}} \right]$$

$$B_1 = M_1 0,41 + M_2 0,41 \quad (2.20a)$$

$$B_3 = \frac{4\omega_c}{\pi} \left[ M_2 \left( \frac{1}{2} t - \frac{\sin 2b\omega_c t}{4b\omega_c} \right) \Big|_0^{\frac{T}{6}} - M_1 \left( \frac{1}{2} t - \frac{\sin 2b\omega_c t}{4b\omega_c} \right) \Big|_{\frac{T}{6}}^{\frac{T}{4}} \right]$$

$$B_3 = -M_1 0,33 + M_2 0,66 \quad (2.20b)$$

$$B_5 = \frac{4}{\pi} \left[ M_2 \left( \frac{3}{16} \cos 3\omega_c t \sin 5\omega_c t - \frac{5}{16} \sin 3\omega_c t \cos 5\omega_c t \right) \Big|_0^{\frac{T}{6}} + \right. \\ \left. - M_1 \left( \frac{3}{16} \cos 3\omega_c t \sin 5\omega_c t - \frac{5}{16} \sin 3\omega_c t \cos 5\omega_c t \right) \Big|_{\frac{T}{6}}^{\frac{T}{4}} \right]$$

$$B_5 = M_1 0,2 + M_2 0,2 \quad (2.20c)$$

$$B_7 = \frac{4}{\pi} \left[ M_2 \left( \frac{3}{40} \cos 3\omega_c t \sin 7\omega_c t - \frac{7}{40} \sin 3\omega_c t \cos 7\omega_c t \right) \Big|_0^{\frac{T}{6}} + \right.$$

$$- M_1 \left( \frac{3}{40} \cos 3\omega_c t \sin 7\omega_c t - \frac{7}{40} \sin 3\omega_c t \cos 7\omega_c t \right) \Big|_{\frac{T}{6}}^{\frac{T}{4}} ]$$

$$B_7 = - (M_1 0,082 + M_2 0,082) \quad (2.20d)$$

### 2.3. Napięcie wyjściowe dla $\frac{f_N}{4}$ , $p = 4$

Przebieg  $u_c = f(t)$  przedstawiono na rys.7. Ogólny wzór dla tej częstotliwości ma postać

$$B_b = \frac{4\omega_c}{\pi} \left[ M_2 \int_0^{\pi/4} \sin p\omega_c t \sin b\omega_c t dt + M_1 \int_{\pi/4}^{\pi/2} \sin p\omega_c t \sin b\omega_c t dt \right] \quad (2.21)$$

Rozwiązanie tych całek w postaci ogólnej określone jest za leżnością (2.17) i dotyczy harmonicznej  $b \neq p$ . Otrzymano następujące wyrażenia

$$\begin{aligned} B_1 &= M_1 0,58 + M_2 0,24 \\ B_3 &= - M_1 0,22 + M_2 0,51 \\ B_5 &= - M_1 0,16 + M_2 0,4 \end{aligned} \quad (2.22)$$

### 2.4. Napięcia wyjściowe dla $\frac{f_N}{5}$ , $p = 5$ (rys.7)

Struktura zależności  $B_b = f(t)$  jest podobna do (2.21) z tym, że wystąpią 3 wyrażenia całkowe o granicach całkowania jak na rysunku. Równania końcowe:

$$\begin{aligned} B_1 &= M_1 0,25 + M_2 0,4 + M_3 0,15 \\ B_3 &= - M_1 0,23 + M_2 0,14 + M_3 0,37 \\ B_5 &= M_1 0,2 - M_2 0,4 + M_3 0,4 \end{aligned} \quad (2.23)$$

### 2.5. Napięcia wyjściowe dla $\frac{f_N}{6}$ , (rys.7)

$$\begin{aligned} B_1 &= M_1 0,41 + M_2 0,29 + M_3 0,1 \\ B_3 &= - M_1 0,28 + M_2 0,28 + M_3 0,28 \end{aligned} \quad (2.24)$$

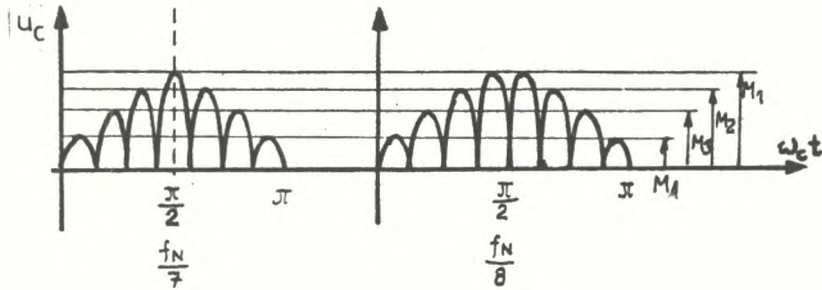
$$B_5 = M_1 0,06 - M_2 0,25 + M_3 0,35$$

2.6. Napięcia wyjściowe dla  $\frac{f_N}{7}$ , (rys.8)

$$B_1 = M_1 0,18 + M_2 0,33 + M_3 0,22 + M_4 0,08$$

$$B_3 = -M_1 0,17 - M_2 0,07 + M_3 0,31 + M_4 0,22 \quad (2.25)$$

$$B_5 = M_1 0,16 - M_2 0,2 - M_3 0,07 + M_4 0,29$$



Rys.8. Przebiegi dla  $p = 7$ ,  $p = 8$

2.7. Napięcie wyjściowe dla  $\frac{f_N}{8}$ , (rys.8)

$$B_1 = M_1 0,31 + M_2 0,265 + M_3 0,175 + M_4 0,06$$

$$B_3 = -M_1 0,255 + M_2 0,06 + M_3 0,3 + M_4 0,17 \quad (2.26)$$

$$B_5 = M_1 0,16 - M_2 0,28 + M_3 0,05 + M_4 0,24$$

2.8. Dobór optymalnych parametrów

Należy zauważyć, że dla optymalnego przebiegu napięcia wyjściowego, tj. zawierającego harmoniczną podstawową o możliwie dużej amplitudzie, przy znacznie mniejszych amplitudach wyższych harmoniczných liczba poziomów napięć  $m$  jest zależna od liczby pulsów  $p$ , przy czym dla wyższych wartości  $p$  różnice między górnymi poziomami napięć mogą być znikome. Zależność  $m$  od  $p$  podano w tab. 2.1.

Tab. 2.1.

p	2	3	4	5	6	7	8	9	10
m	1	2	2	3	3	4	4	5	5

W celu wyznaczenia optymalnych wartości parametrów  $m$  należy posłużyć się równaniami (2.19), (2.20), (2.22) do (2.26). Następnie, stosując metodę kolejnych przybliżeń, można określić parametry  $m$  dla kolejnych harmonicznych, a mianowicie:

a) w (2.20) i (2.22) kolejno wstawiamy  $M_1 = 1 = \text{konst}$   $M_2 = 0,1, 0,2, 0,3, \dots 1,0$ . Z tej analizy wynika, że optymalnymi poziomami dla  $f_N/3$  i  $f_N/4$  są  $M_1 = 1$  i  $M_2 = 0,5$  co podano w tab. 2.2. Widać, że dla  $f_N/3$   $B_1 = 0,614$ ,  $B_3 = 0$ , niekorzystna jest  $B_5 = 0,30$ . Przy  $f_N/4$   $B_1 = 0,7$  natomiast  $B_3 = 0,035$  a  $B_5 = 0,04$ .

b) Dla przebiegu o  $f_N/5$  zakładamy w zależności (2.23)  $M_1 = 1$ ,  $M_2 = 0,5$  do  $1,0$  zmienia się co  $0,05$ , zaś  $M_3$  zmienia się co  $0,05$ , od  $0,1$  do  $1,0$ .

c) Dla częstotliwości wyjściowej  $f_N/6$  zakładamy w równaniach (2.24)  $M_1 = 1$ ;  $M_2$  zmienia się od  $0,5$  do  $1,0$  co  $0,05$ ;  $M_3$  zmienia się od  $0,1$  do  $1,0$  co  $0,05$ .

d) Dla częstotliwości  $f_c = f_N/7$  podstawiamy do zespołu równań (2.25)  $M_1 = 1$ ;  $M_2$  zmienia się od  $0,5$  do  $1,0$  co  $0,05$ , tak samo zmienia się  $M_3$ . Za  $M_4$  należy podstawiać od  $0,1$  do  $1,0$  co  $0,05$ .

e) Częstotliwość  $f_c = f_N/8$  podstawiamy w zespole równań (2.26). Tok postępowania jest taki sam jak w punkcie d).

Wyniki powyższych dociekań ujęto w tab. 2.2.

Tabela 2.2

Zestawienie optymalnych parametrów M  
i odpowiadających im harmonicznym

$f_c = f_N/p$	$f_N/2$	$f_N/3$	$f_N/4$	$f_N/5$	$f_N/6$	$f_N/7$	$f_N/8$
$M_1$	1,0	1,0	1,0	1,0	1,0	1,0	1,0
$M_2$	-	0,5	0,5	0,9	0,75	1,0	1,0
$M_3$	-	-	-	0,45	0,35	0,6	0,75
$M_4$	-	-	-	-	-	0,3	0,35
$B_1$	0,85	0,614	0,7	0,68	0,67	0,66	0,73
$B_3$	0,51	0,0	0,035	0,06	0,04	0,012	0,03
$B_5$	-0,12	0,30	0,04	0,02	0,01	0,005	0,001
$B_7$	0,06	-0,12	-	-	-	-	-

Wartości dla  $B_7$  w przebiegach o częstotliwości  $f_N/4$  i niższych pominięto jako mało znaczące.

Obliczanie kolejnych harmonicznym zawartych w napięciach wyjściowych cyklokonwertora o niższych wartościach częstotliwości odbywa się podobnie, jak przedstawiono wcześniej.

### 3. WNIOSKI I UWAGI

Z przeprowadzonej analizy wynikają pewne wnioski, dotyczące samych układów oraz nasuwają się uwagi odnośnie samej metody.

1. Otrzymane równania (2.19) do (2.26) można wykorzystać do wyznaczenia poziomów napięć  $M$ , które ograniczą wartość określonej częstotliwości.

2. Charakterystycznym jest fakt, że ze wzrostem liczby pulsów  $p$  szybko maleją wyższe harmoniczne w napięciu wyjściowym (por. tab. 2.2).

3. Układy charakteryzują się prostą budową, mniej skomplikowane są również układy sterujące. Komutacja napięciowa występuje przy kącie wysterowania  $\alpha = 0$  ( $u_1 = u_{1+1} = 0$ ).

4. Cyklokonwertory opisane w tekście nadają się do zasilania odbiorników jednofazowych, zaś układy skojarzone znajdują zastosowanie do zasilania odbiorników trójfazowych.

5. Pewną niedogodnością konstrukcyjną, zwłaszcza przy dużych mocach jest fakt, że przy malejących częstotliwościach wzrasta liczba zaczepów transformatora.

6. Przedstawiona metoda optymalizacji poziomów napięć zasilających jest prosta, aczkolwiek staje się czasochłonna dla  $p > 4$ . Dokładniejsze i szybsze są metody numeryczne.

#### LITERATURA

- [1] Kurdziel R., Podstawy elektrotechniki. WNT, Warszawa 1973.
- [2] Findlik J., Cyklokonwertor jednofazowy w wersji poszerzonej. Praca magisterska pod kierunkiem M. Franaszka, WSP, Kraków 1984.

Mieczysław Franaszek

## ANALYSE DER OBERWELLEN IN DER AUSGANGSSPANNUNG DES PHASENUNGESTEUERTEN ZYKLOKONVERTERS

Der Gegenstand dieses Artikels ist der einphasige Zy-  
klokonverter, der auf Basis der Thyristoren oder Symistoren  
erbaut wird. Der Zylokonverter ist phasenungesteuert, dh.  
der Steuerwinkel  $\alpha = 0$  und Stromkomutierung ist sehr gän-  
stig. Die Spannungspeisung ist stufenweise und darum die  
Ausgangsspannung mit Frequenzregelung kennzeichnet sich  
mit großem Wert der Hauptwelle, dagegen Oberwellen haben  
niedrige Werte.

Zyklokonverterische Systeme haben sehr eine einfache  
Struktur und ihr Steuerschema ist auch weniger kompliziert,  
als bei klassischen ( $\alpha \neq 0$ ) Zylokonvertern.

Analyse der Ausgangsspannungskurven, die der Bedin-  
gungen Dirichlets erfüllen, stützt sich auf der trigonome-  
trischen Reihe Fouriers.

Im Artikel sind mathematische Gleichungen zur Berech-  
nung der Oberwellenwerte ausgeführt.